

(338)

応力、及び温度にせん断クリープ形機構の遷移
20Cr-25Niオーステナイト系ステンレス鋼の高温クリープ[第二報]

大阪大学 工学部

○高橋康夫, 山根寿己

1. 緒言: 近年、多くの研究者達がオーステナイト系ステンレス鋼の高温クリープに対する解説を報告して来た。^{(1),(2),(3)} 本研究では、J. P. Poirier⁽⁴⁾, C. Oytana et al.⁽⁵⁾ の解析に基づき、20Cr-25Niオーステナイト鋼の高温クリープにおける変形機構の一解説を、このシリーズのPart 1 の検討をふす方へ論じる。

2. 実験方法: 温度及び応力範囲は第一報と同一である。第一報で求めた定常クリープ領域で Strain dip test が行なわれた。(精度 $\pm 1 \mu\text{m}$) この方法において upper 及び lower 領界応力 σ_p , σ_n を次のように定義した。 $\sigma_p = \sigma_a - \Delta\sigma_p$, $\sigma_n = \sigma_a - \Delta\sigma_n$, σ_a は initial applied stress, $\Delta\sigma_p$ と $\Delta\sigma_n$ はそれぞれ Fig. 1 に示してある。応力減少 $\Delta\sigma < \Delta\sigma_p$ のとき、応力を低下させた直後 Positive Creep を生じ、 $\Delta\sigma \geq \Delta\sigma_n$ の時、Negative Creep を生じる。又 $\Delta\sigma_p < \Delta\sigma < \Delta\sigma_n$ の場合、Positive Creep を生じる前に潜伏期が観察される。C. Oytana et al.によれば、 σ_n , σ_p はそれぞれ σ_{\max} , σ_{\min} に相当するらしいが、本研究では σ_n と σ_p の差異が少ないとし、この平均をとて内部応力 σ_i を定めた。しかしその差異が大きく、 $\Delta\sigma_p \approx 0$ の場合、 $\sigma_i = \sigma_p \approx \sigma_a$ と定義することにした。又クリープ試験片の試料について電顕観察もおこなった。

3. 結果: 試験温度 T が T_E より低い時、(T_E は第一報参照) $\Delta\sigma \approx 0$ と T なり、又見かけの活性化エネルギー $Q_c \approx \Delta H_{SD}$ となる。この $\Delta H_{SD}/T$ の系における Fe の自己拡散の活性化エネルギー ($\Delta H_{SD} \approx 285 \text{ kJ/mol}$) しかし $T > T_E$ のときに、 $\sigma_a > 24.7 \text{ MPa}$ で $\sigma_p < \sigma_a$ 又 $\sigma_a < 19.1 \text{ MPa}$ で $\sigma_p \approx \sigma_a$ となり、 $\sigma_a = 13.4 \text{ MPa}$ で $\sigma_c \approx \Delta H_{SD}$ となる。これから、 $T > T_E$ の応力域では、一般に言われる回復クリープが示唆されるが、 $24.7 \text{ MPa} < \sigma_a \leq 44.1 \text{ MPa}$ の場合は、このような回復クリープからではなく説明がつけられず ($Q_c \neq \Delta H_{SD}$ がわかるに大きな)。Fig. 2 に示すように有効応力を整理する方が妥当と思われる。又、これは Fig. 3 の σ_n 及び σ_p の温度依存性からも支持される。上記のこと(第一報で検討した炭化物とも関係があること)が電顕観察から示唆される。

文献: (1) I. R. McLachlin; Met. Sci. J., 1974, 8, 247.

(2) D. G. Morris; Acta Met., 1978, 26, 1143.

(3) 佐藤義弘, 松尾泰, 木田隆之, 田中良平; 鋼と鉄, 1979, 65, (7), 896.

(4) J. P. Poirier; Acta Met., 1977, 25, 913.

(5) C. Oytana, P. Delobel, A. Mermel; J. Mater. Sci., 1979, 14, 549.

(6) Bill Bergman; Scand. J. Metall., 1975, 4, 109.

(7) O.K. Chopra, K. Natesan, Met. Trans., 1977, 8A, 633.

(8) M. Pahutová et al.; Scripta Met. 1977, 11, 1061.

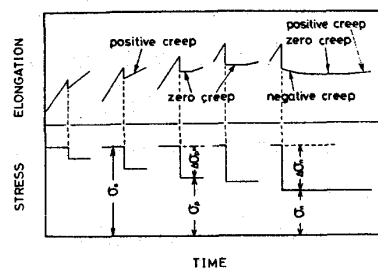


Fig. 1 Strain dip test の因解
($\sigma_a = 34.7 \text{ MPa}$, $T = 1173 \text{ K}$ の実験結果から)

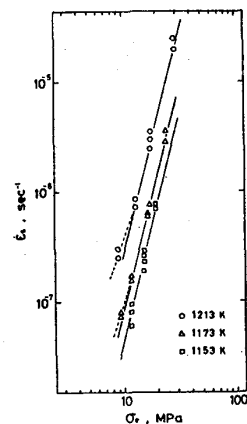


Fig. 2
有効応力 σ_e で整理した結果
($\sigma_a = 19.1 \text{ MPa}$ の $T > 24.1 \text{ MPa}$ の実験結果から得られた。)

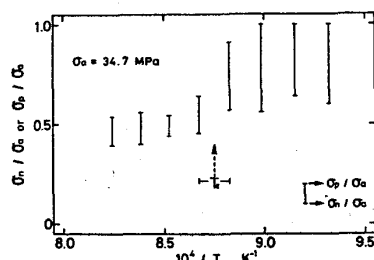


Fig. 3
 σ_n 及び σ_p の温度依存性